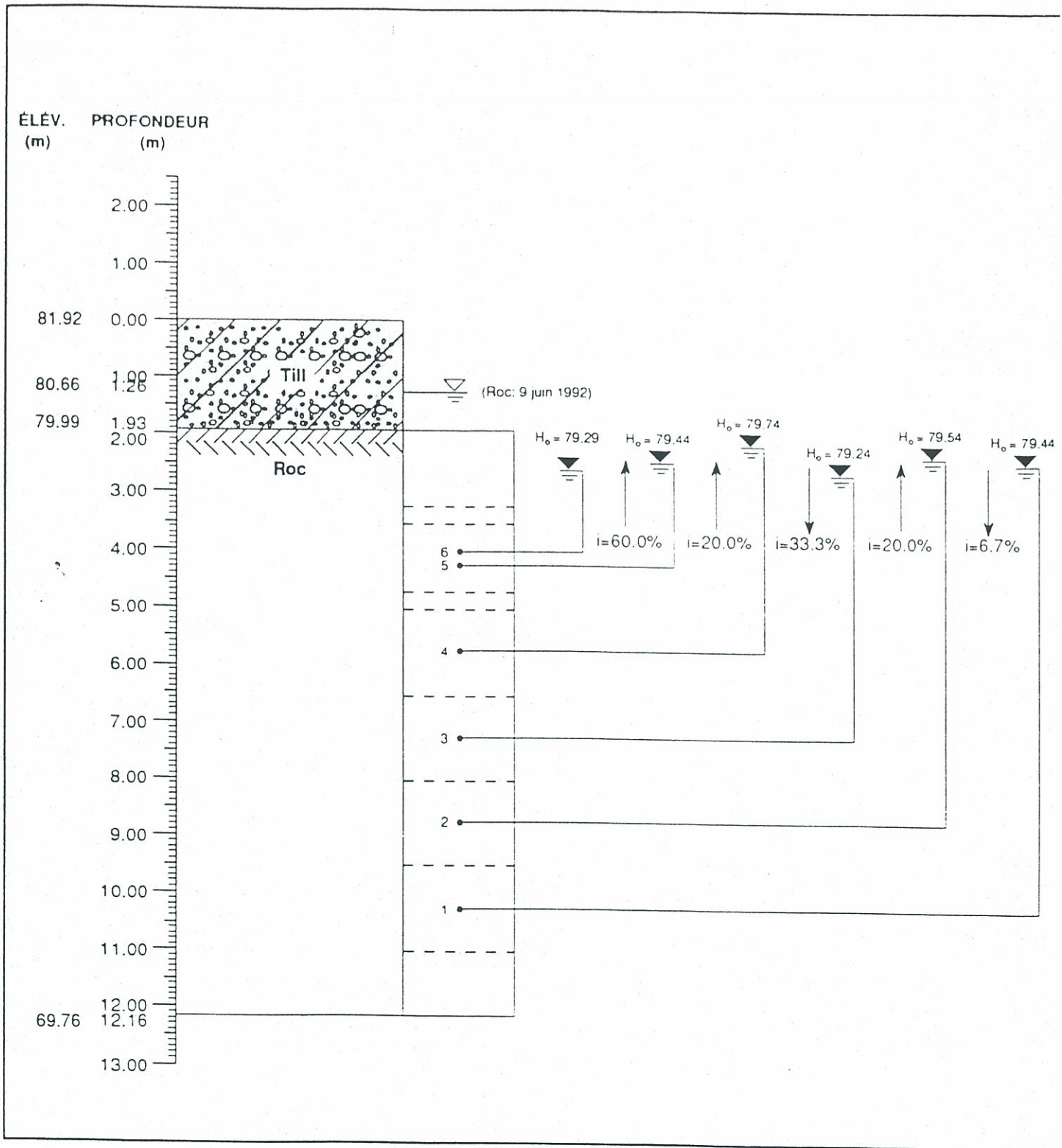


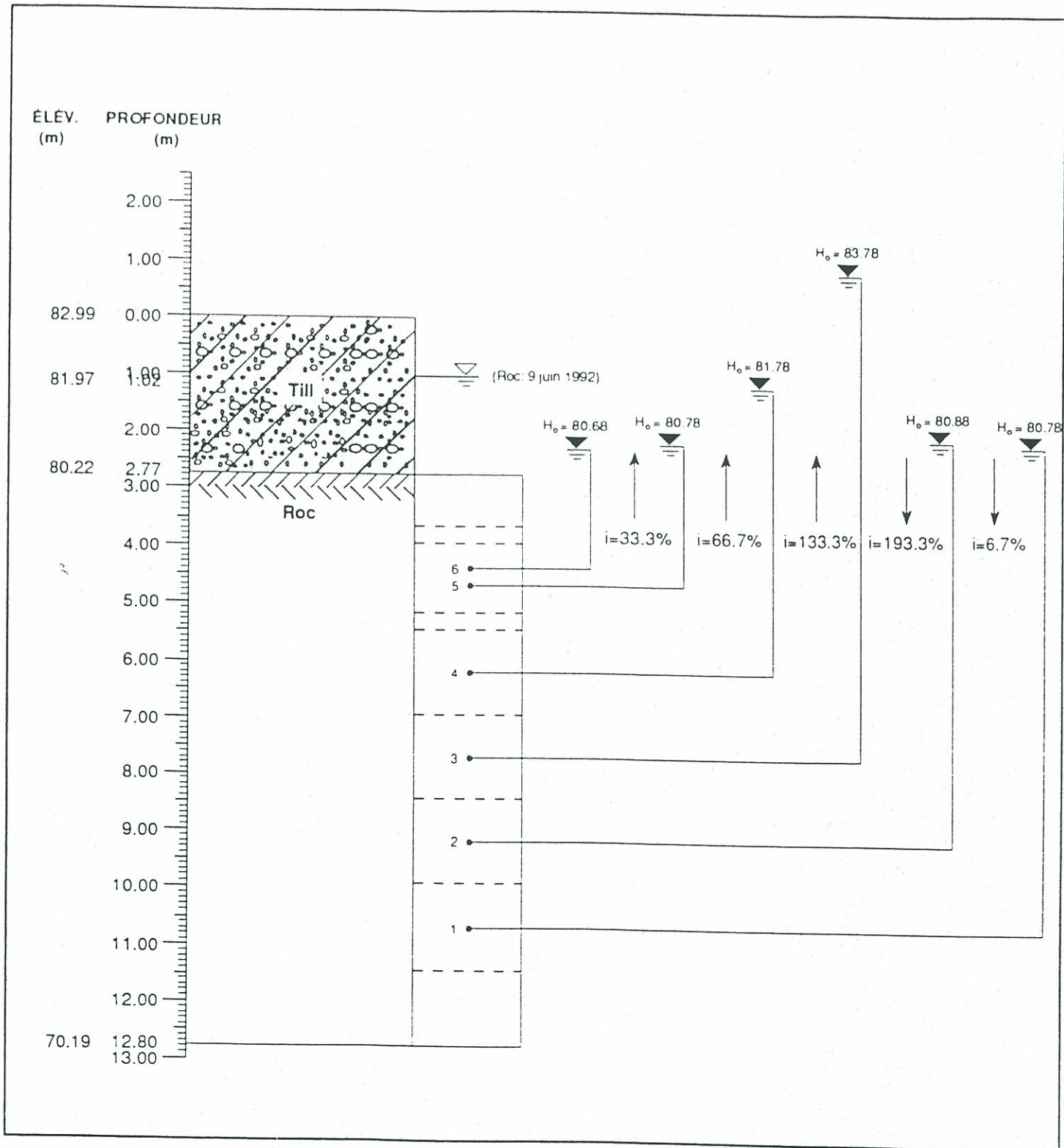
ANNEXE IV

Profils des gradients hydrauliques verticaux au droit des forages

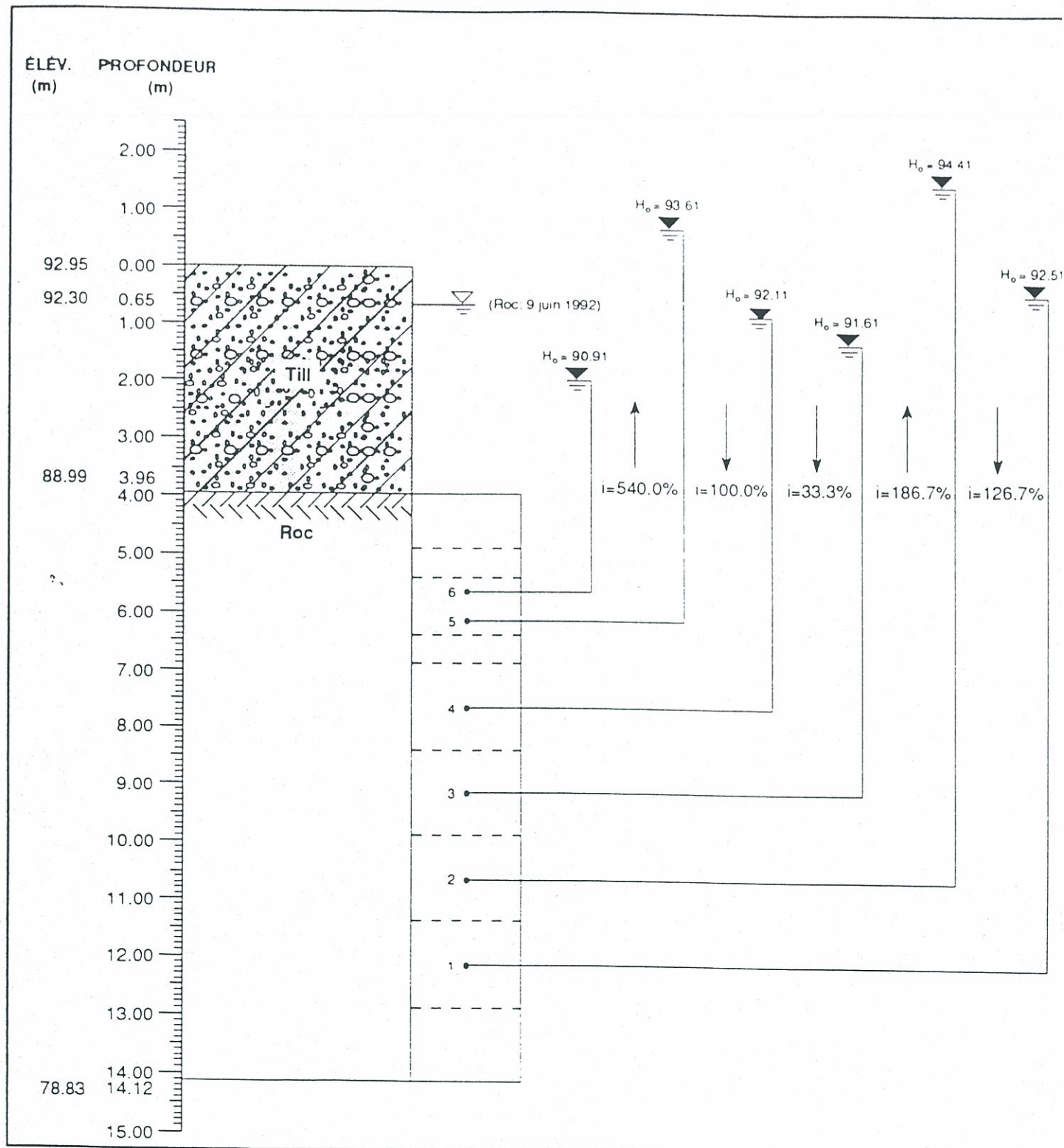




Profil des gradients hydrauliques verticaux au droit du forage TF-1

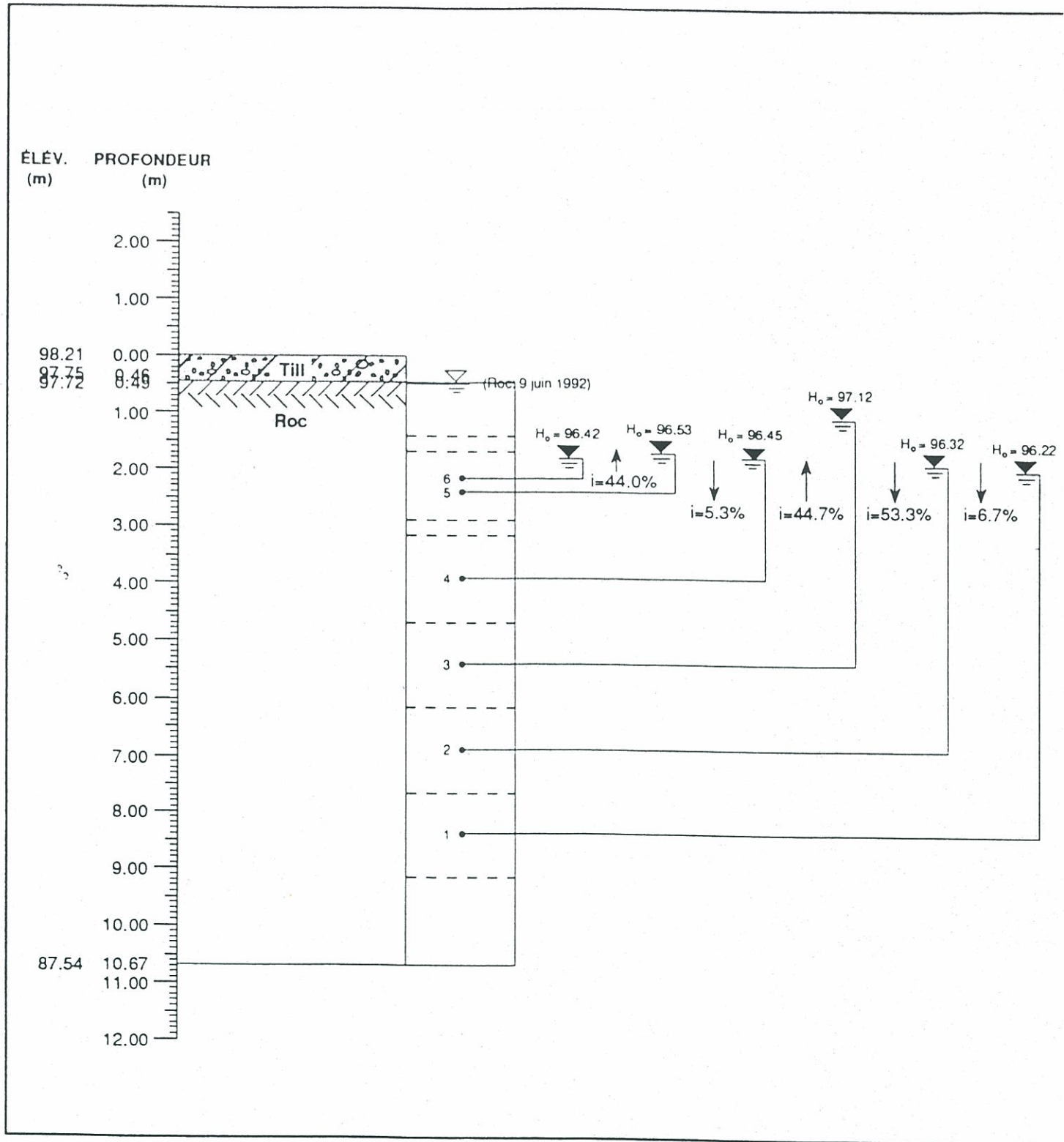


Profil des gradients hydrauliques verticaux au droit du forage TF-4



Profil des gradients hydrauliques verticaux au droit du forage TF-6

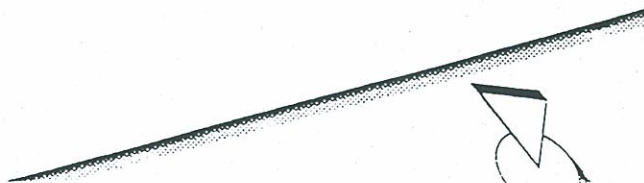


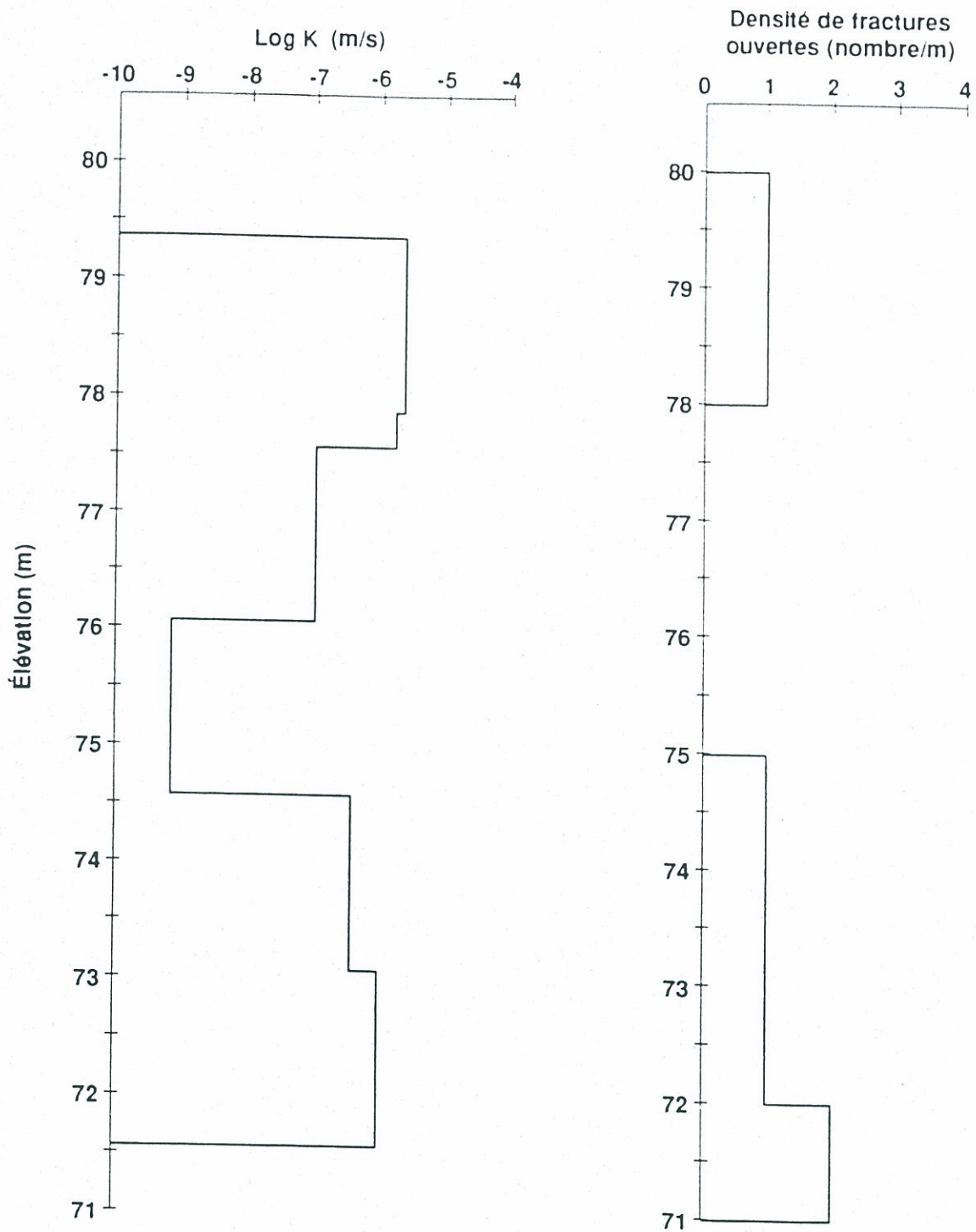


Profil des gradients hydrauliques verticaux au droit du forage TF-7

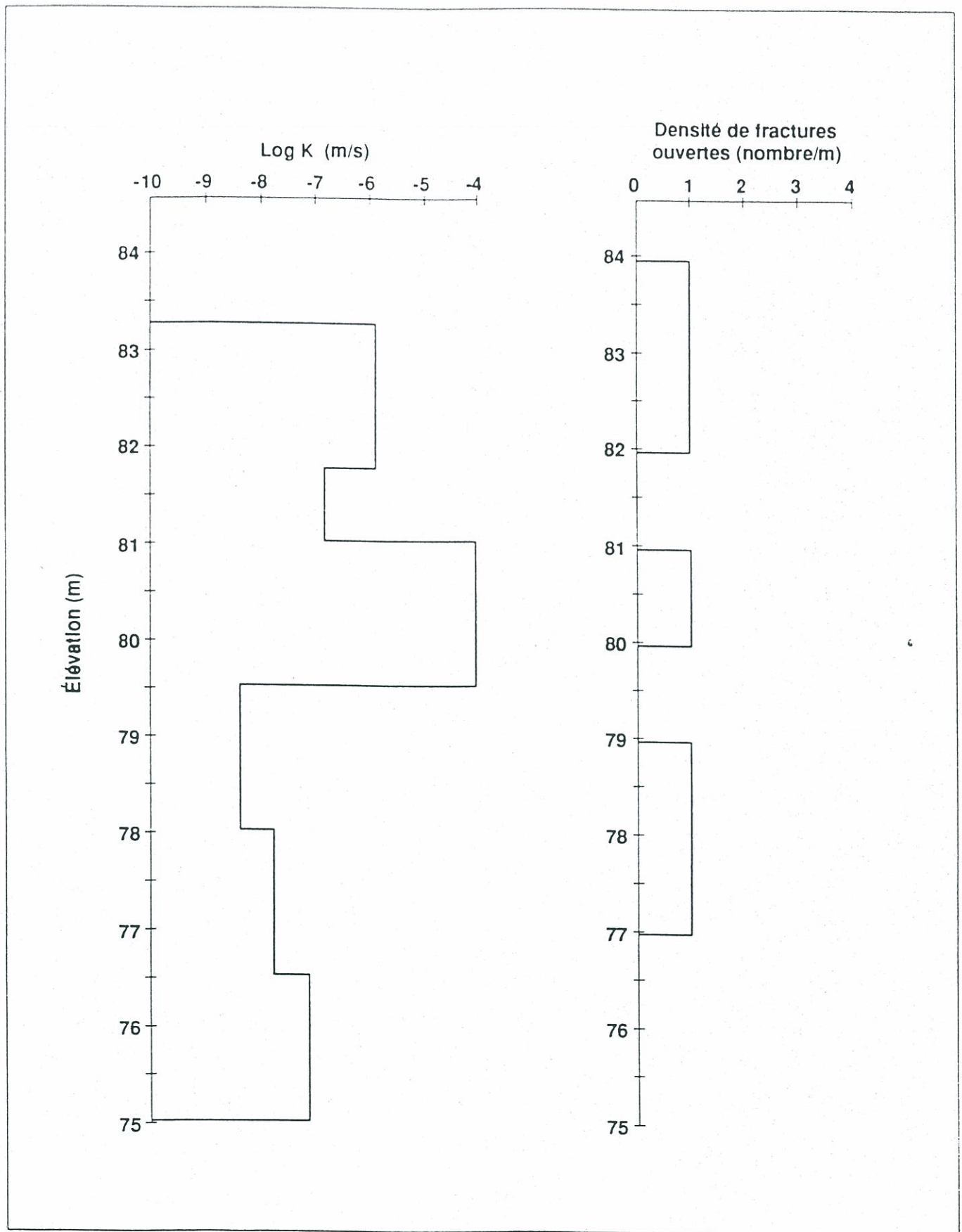
ANNEXE V

Relation entre la conductivité hydraulique (K) et la densité de fractures ouvertes



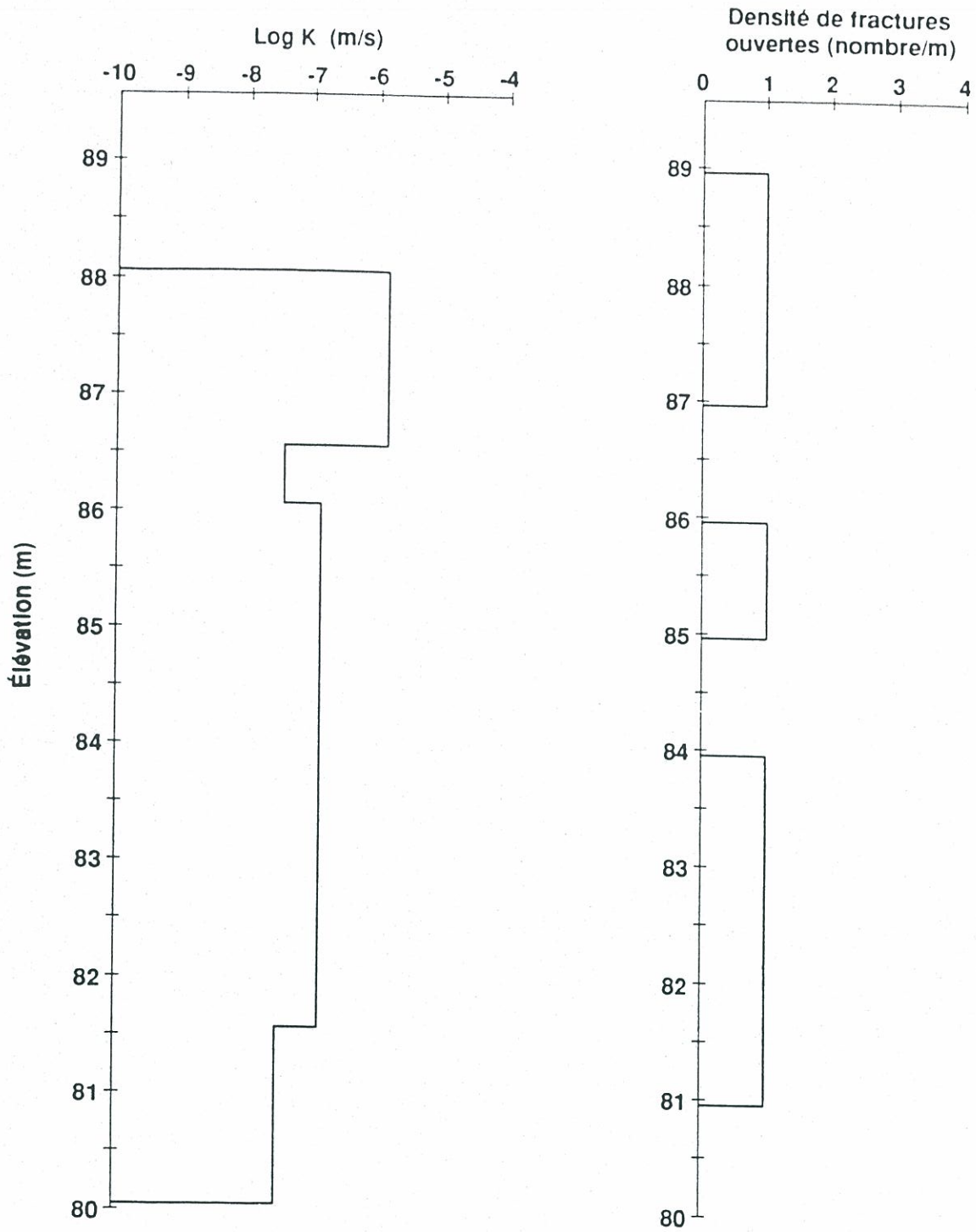


Relation entre la conductivité hydraulique (K) et la densité de fractures ouvertes pour le forage TF-4

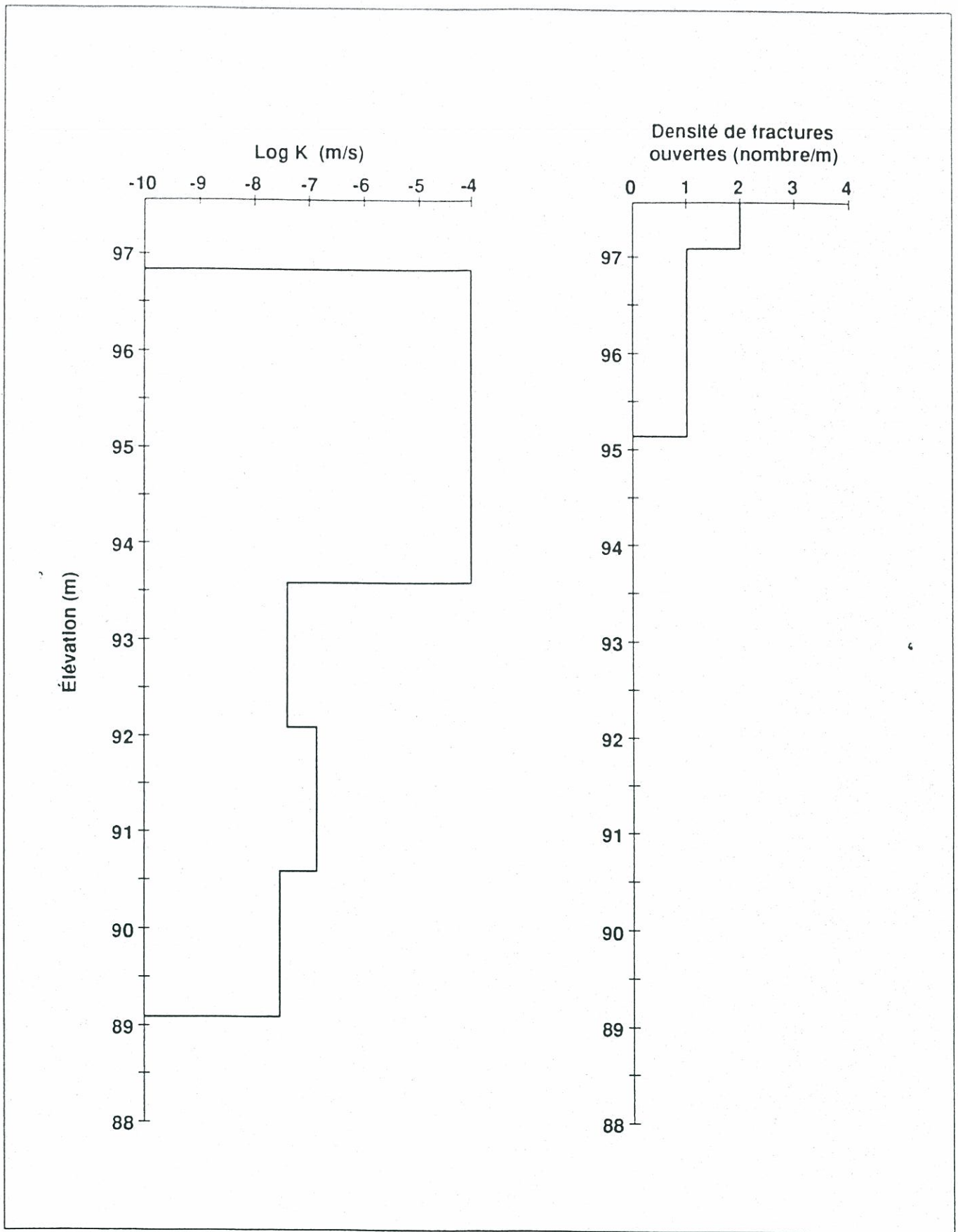


Relation entre la conductivité hydraulique (K) et la densité de fractures ouvertes pour le forage TF-5





Relation entre la conductivité hydraulique (K) et la densité de fractures ouvertes pour le forage TF-6



Relation entre la conductivité hydraulique (K) et la densité de fractures ouvertes pour le forage TF-7